

И. А. Владельщикова, Е. В. Власов, Т. А. Шмелева

АЛГОРИТМ ОЦЕНИВАНИЯ АВАРИЙНЫХ СБРОСОВ НЕФТЕЗАГРЯЗНЕНИЙ В ВОДОТОК

Исследуется точность алгоритма оценивания графика залпового сброса нефтяного загрязнителя в водоток по контролю динамики загрязненности водной среды в выходном контрольном створе.

Модель

Разработка алгоритма оценки объемов (графика) аварийных сбросов по данным концентрации углеводородов во входном и выходном створах водотока требует построения адекватной математической модели миграции нефтяных загрязнений (НЗ) воды [2, 4]. Анализ кратковременных аварийных событий предопределяет специфику упрощенного описания процессов, учитывающих главные механизмы массообмена в квазистационарных гидрохимических условиях.

Основываясь на камерной схеме деления анализируемого участка реки (рис. 1) [1, 5], будем выделять только две переменные состояния для каждой камеры: $M_i(t)$ — соответствует массе НЗ в водной среде; $MV_i(t)$ — масса «подвижного» НЗ, адсорбированная вторичными кумулятивными зонами (берег, дно, растительность и т. п.).

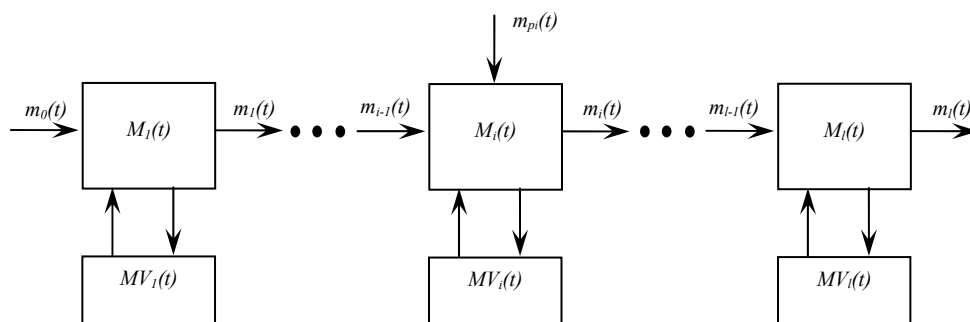


Рис. 1. Структурная схема камерной гидрохимической модели водоема

Главные механизмы массообмена включают:

- био- и фотохимическую деструкцию с параметрами кинетики \bar{b}_i , $\bar{b}V_i$;
- массообмены между водным раствором и кумулятивными зонами с параметрами сорбции — v_i и вторичного загрязнения — vV_i ;
- диффузионный массообмен между водными растворами камер с параметром \bar{x}_i ;
- переход адсорбированного НЗ из «подвижного» состояния в условно «неподвижное», связанное с почвогрунтами, скорость отвердения пропорциональна параметру \bar{b}_G ;
- массоперенос с потоком воды русла реки.

В свете изложенного линеаризованная, стационарная на коротком интервале времени динамика массообмена i -й камеры в условиях «неподвижной воды» может быть описана системой уравнений вида

$$\begin{cases} \dot{M}_i(t) = -(\bar{\sigma}_i + v_i)M_i(t) + vV_iMV_i(t) + \aleph_i(M_{i-1}(t) - 2 \cdot M_i(t) + M_{i+1}(t)) + \\ + m_{p_i}(t), \\ \dot{MV}_i(t) = -(\bar{\sigma}V_i + vV_i + \bar{\sigma}_G)MV_i(t) + v_iM_i(t), \end{cases} \quad (1)$$

где $m_{p_i}(t)$ — кратковременный аварийный сброс. Учет адвективной компоненты массопереноса нагляднее вводить в дискретном времени. Пусть Φ сравнительно малый период дискретизации:

$$\Phi < \Phi = \min \left\{ \Delta t_i, 0.1 \cdot (\bar{\sigma}_i + v_i + 2 \cdot \aleph_i)^{-1}, 0.1 \cdot (\bar{\sigma}V_i + vV_i + \bar{\sigma}_G)^{-1} \right\}.$$

Здесь $\Delta t_i = l_i / \vartheta_i$ — время полного замещения воды в i -й камере, l_i — длина камеры, ϑ_i — средняя скорость тока. На основании (1) искомая дискретная модель первого приближения [3] запишется следующим образом:

$$\begin{cases} M_i(k+1) = (1 - \lambda_i - \Phi(\bar{\sigma}_i + v_i + 2 \cdot \aleph_i)) \cdot M_i(k) + \Phi vV_i \cdot MV_i(k) + \\ + (\lambda_{i-1} + \Phi \aleph_i) \cdot M_{i-1}(k) + \Phi \aleph_i \cdot M_{i+1}(k) + mP_i(k), \\ MV_i(k+1) = (1 - \Phi(\bar{\sigma}V_i + vV_i + \bar{\sigma}_G)) \cdot MV_i(k) + \Phi v_i \cdot M_i(k), \end{cases} \quad (2)$$

где $M_i(k) = M_i(t_k)$, $t_{k+1} = t_k + \Phi$, $mP_i(k) = \Phi m_{p_i}(k)$ — количество НЗ, поступивших в i -ю камеру с поверхностным стоком за период времени $[t_k, t_{k+1})$. Механика адвективного переноса учитывается равенством

$$\begin{aligned} M_i(k+1) &= \lambda_{i-1} \cdot M_{i-1}(k) + (1 - \lambda_i) \cdot M_i(k) + \Delta M_i(k) = \\ &= M_i(k) + m_{i-1}(k) - m_i(k) + \Delta M_i(k). \end{aligned}$$

Параметр $\lambda_i = \Phi / \Delta t_i$ определяет долю замещения загрязненных вод i -й камеры на λ_{i-1} долю воды из $i-1$ камеры. Перейдем к укороченным обозначениям параметров системы (2)

$$a_i = 1 - \lambda_i - \Phi(\bar{\sigma}_i + v_i + 2 \cdot \aleph_i), \quad aV_i = 1 - \Phi(\bar{\sigma}V_i + vV_i + \bar{\sigma}_G), \quad b_i = \Phi vV_i,$$

$$bV_i = \Phi v_i, \quad x_{i-1} = \lambda_{i-1} + \Phi \aleph_i, \quad \chi_i = \Phi \aleph_i$$

и запишем (2) в виде одного уравнения второго порядка относительно $M_i(k)$:

$$M_i(k) = \varphi_i(z)^{-1} \cdot (v_{i-1}M_{i-1}(k) + \chi_i M_{i+1}(k) + mP_i(k)), \quad (3)$$

где

$$\varphi_i(z)^{-1} = \begin{bmatrix} 1 & 0 \end{bmatrix} \cdot \begin{bmatrix} z - a_i & -b_i \\ -bV_i & z - aV_i \end{bmatrix}^{-1} \cdot \begin{bmatrix} 1 \\ 0 \end{bmatrix} = \frac{z - aV_i}{z^2 - (a_i + aV_i) \cdot z + a_i \cdot aV_i - b_i \cdot bV_i},$$

а z^i — дискретный оператор i -шагового опережения/запаздывания ($z^i x(k) = x(k+1)$, $i \in \{\dots, -2, -1, 0, 1, 2, \dots\}$).

Алгоритм

Воспользуемся представлением модели камеры в виде (3) и рассмотрим задачу оценки графика $mP_i(k)$ по измерениям пары $\langle M_l(k), M_0(k), k=0, 1, 2, \dots \rangle$ для структуры водотока на рис. 1. Приняв для простоты анализа $\chi_l = 0$, запишем модель анализируемого участка в виде

$$\begin{array}{|c|c|c|} \hline \begin{array}{ccc} \varphi_1(z) & -\chi_1 & 0 \\ -\nu_1 & \varphi_2(z) & -\chi_2 \\ 0 & -\nu_2 & \varphi_3(z) \end{array} & \begin{array}{c} \vdots \\ \text{O} \\ \vdots \end{array} & \begin{array}{c} M_1(k) \\ M_2(k) \\ M_3(k) \\ \dots \\ M_{l-1}(k) \\ M_l(k) \end{array} \\ \hline \begin{array}{c} \text{O} \\ \vdots \\ \text{O} \end{array} & \begin{array}{c} \vdots \\ \varphi_{-1}(z) & -\chi_{l-1} \\ -\nu_{l-1} & \varphi_l(z) \end{array} & \begin{array}{c} \vdots \\ \vdots \\ \vdots \\ \vdots \\ \vdots \\ 0 \end{array} \\ \hline \end{array} = \begin{array}{c} 1 \\ 0 \\ 0 \\ \vdots \\ 0 \\ 0 \end{array} \nu_0 M_0(k) + \begin{array}{c} 0 \\ \vdots \\ 0 \\ 1 \\ 0 \\ \vdots \\ 0 \end{array} mP_i(k). \quad (4)$$

Перейдя к векторно-матричной форме, получаем более компактную запись

$$\Phi(z) \cdot M(k) = \mathbf{1}_1 \nu_0 M_0(k) + \mathbf{1}_i mP_i(k), \quad (5)$$

где $M(k) = \text{col}[M_1(k) \dots M_l(k)]$, $\mathbf{1}_j = \text{col}[0 \dots 0 \overset{\leftarrow j \rightarrow}{1} 0 \dots 0]$. Разрешив (4), (5) относительно измеряемого выхода $M_l(k)$, получаем

$$\det \Phi(z) \cdot M_l(k) = \nu_0 \cdot \Phi_{ll}(z) \cdot M_0(k) + \Phi_{il}(z) \cdot mP_i(k), \quad (6)$$

что подтверждается выводом

$$\begin{aligned} M_l(k) &= \mathbf{1}_l^T M(k) = \mathbf{1}_l^T \Phi(z)^{-1} (\mathbf{1}_1 \nu_0 M_0(k) + \mathbf{1}_i mP_i(k)) = \\ &= \frac{1}{\det \Phi(z)} (\nu_0 \Phi_{ll}(z) M_0(k) + \Phi_{il}(z) mP_i(k)), \end{aligned}$$

где $\Phi(z)^{-1} = \frac{1}{\det \Phi(z)} \begin{bmatrix} \Phi_{11}(z) & \dots & \Phi_{1l}(z) \\ \dots & \dots & \dots \\ \Phi_{l1}(z) & \dots & \Phi_{ll}(z) \end{bmatrix}$, $\Phi_{ij}(z)$ — алгебраическое

дополнение i, j элемента матрицы $\Phi(z)$.

Отсюда

$$\mathbf{1}_l^T \cdot \Phi(z) \cdot \mathbf{1}_j = [\Phi_{1l}(z) \dots \Phi_{ll}(z)] \cdot \mathbf{1}_j = \Phi_{jl}(z), \quad j = \{0, i\}.$$

Утверждение 1. В условиях (4), (5) для уравнения (6) справедливо представление

$$\frac{a^l(2l, z)}{b^l(l, z)} M_l(k) = \nu_\Sigma M_0(k) + \frac{a^i(2i-2, z)}{b^i(i-1, z)} mP_i(k), \quad (7)$$

$$b^l(l, z) = b^i(i-1, z) \cdot b_1^l(l-i+1, z),$$

где $a^{\cdot}(j, z)$ и $b^{\cdot}(m, z)$ — дискретные операторы вида

$$a^{\cdot}(j, z) = z^j + a_{j-1}^{\cdot} z^{j-1} + \dots + a_0^{\cdot}, \quad b^{\cdot}(m, z) = b_m^{\cdot} z^m + b_{m-1}^{\cdot} z^{m-1} + \dots + b_0^{\cdot}.$$

На основании (7) результат формулируется следующим образом.

Утверждение 2. Для структуры водотока на рис. 1 в условиях (2), (3) оценка графика скрытых сбросов $mP_i(k)$ по измерениям $M_0(k)$, $M_l(k)$, $k \in \{0, 1, 2, \dots\}$ восстанавливается на решениях порождающего решения

$$b_1^l(l-z+1, z) \cdot a^i(2i-2, z) \cdot mP_i(k) = y_l(k), \quad (8)$$

где $y_l(k)$ вычисляется по выражению

$$\sigma_l(k) = a^l(2l, z) \cdot M_l(k) - v_{\Sigma} \cdot b^l(l, z) \cdot M_0(k).$$

Доказательство результата (8) сразу следует из (7) после приведения последнего к общему знаменателю.

Пример

Рассматривается модель водотока с тремя однотипными камерами. Исходные параметры модели приведены в табл.

Исходные параметры и состояния модели

1	Скорость течения, ϑ , м/час	360
2	Длина камеры, l , м	360
3	Время полного замещения, Δt , час	1
4	Скорость биохимической деструкции, \bar{b} , час ⁻¹	0,01
5	Скорость сорбции, v , час ⁻¹	0,08
6	Скорость диффузии, d , час ⁻¹	0,04
7	Состояние загрязненности на входе, $M_0(t)$, кг	0
8	Шаг дискретизации, Φ , час	0,01
9	Начальные условия, $M_i(0)$, кг	0
10	Глубина камеры, м	2
11	Ширина камеры, м	36

Для дискретного представления модели (2) без вторичных кумулятивных зон ($\beta V_i \equiv 0$)

$$M_i(k+1) = \bar{b} \cdot M_i(k) + x \cdot M_{i-1}(k) + \bar{c} \cdot M_{i+1}(k) + mP_i(k), \quad i = \{1, 2, 3\},$$

параметры рассчитываются по следующим уточненным выражениям:

$$\bar{b} = 1 - l - \Phi (\bar{b} + v + d \cdot \bar{b}_{i,i}) = 0,9691,$$

$$x = l + \Phi \bar{b}_{i-1,i} \cdot d = 0,03, \quad \bar{c} = \Phi \bar{b}_{i,i+1} \cdot d = 2,78 \cdot 10^{-8},$$

$$\text{где } \alpha_{i,i} = \frac{\omega_{i-1,i}}{l_{i-1,i} \cdot V_i} + \frac{\omega_{i,i+1}}{l_{i,i+1} \cdot V_i} = 1,54 \cdot 10^{-5};$$

$$\bar{b}_{i-1,i} = \bar{b}_{i,i+1} = \frac{\text{Щ}}{l \cdot V} = 7,72 \cdot 10^{-6};$$

$$\lambda = \frac{\vartheta \cdot \tau}{l} = 0,01;$$

w , l , V . — площадь створа, длина и объем воды в камере. Залповый сброс осуществлялся во вторую камеру: $mP_2(k) > 0$, ($mP_1(k) = mP_3(k) = 0$) при нулевом фоне $M_0(k) = 0$. На рис. 2 приведены графики функции сброса $mP_2(k)$ — 1 и реакции водной системы $M_2(k)$ — 2, $M_3(k)$ — 3 для второй и третьей камер.

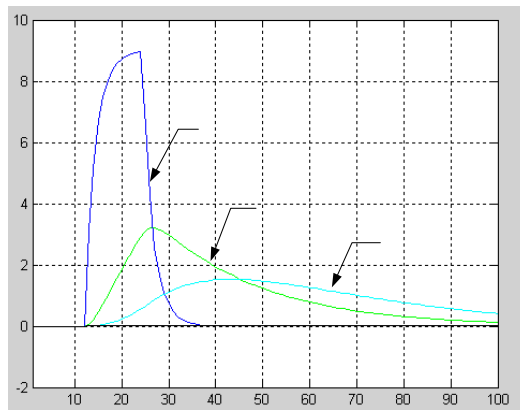


Рис. 2. Графики сброса $mP_2(k)$ — 1 и реакции системы $M_2(k)$ — 2, $M_3(k)$ — 3

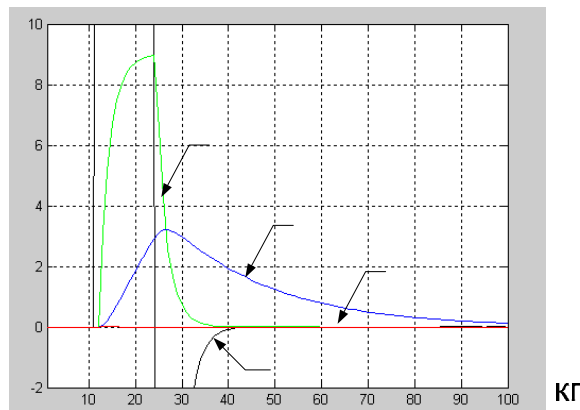


Рис. 3. Графики расчетных оценок сбросов для первой $mP_1(k)$ — 1, второй $mP_2(k)$ — 2 и третьей $mP_3(k)$ — 3 камер

В принятых предположениях дробно-рациональная функция $\varphi(z)$ модели (3) вырождается в линейную форму первого порядка

$$\varphi(z) = z - 0,9691.$$

Модель анализируемого участка согласно (4) запишется следующим образом:

$$\begin{bmatrix} \varphi(z) & -2,78 \cdot 10^{-8} & 0 \\ -0,03 & \varphi(z) & -2,78 \cdot 10^{-8} \\ 0 & -0,03 & \varphi(z) \end{bmatrix} \cdot \begin{bmatrix} M_1(k) \\ M_2(k) \\ M_3(k) \end{bmatrix} = 0,03 \begin{bmatrix} 1 \\ 0 \\ 0 \end{bmatrix} M_0(k) + \begin{bmatrix} 0 \\ 1 \\ 0 \end{bmatrix} + mP_2(k).$$

Отсюда уравнение (6), связывающее входо-выходные переменные, приобретает вид

$$\varphi(z) \cdot (\varphi^2(z) - 8,34 \cdot 10^{-10}) \cdot M_3(k) = 2,7 \cdot 10^{-5} \cdot M_0(k) + 0,03 \cdot \varphi(z) \cdot mP_2(k),$$

а искомое порождающее уравнение (8) может быть представлено соотношениями

$$(z - 0,9691) \cdot \hat{\kappa}P_2(k) = 33,33 \cdot \sigma_3(k),$$

где

$$\sigma_3(k) = (z^2 - 1,9382 \cdot z + 0,9392) \cdot M_3(k) - 2,7 \cdot 10^{-5} \cdot M_0(k).$$

Отметим, что решение обратной задачи помимо восстановления графика функции сброса предполагает оценку и позиции источника. Поэтому подобные уравнения были получены в предположениях о сбросах в первую и третью камеры. Результаты решения обратной задачи при нулевом фоне $M_0(k) \equiv 0$ приведены на рис. 3. Анализ графиков и функции ошибки $e_2(k) = mP_2(k) - \hat{\kappa}P_2(k) \approx 0$ (кривая 4) свидетельствует о состоятельности получаемой оценки при совпадении расчетной позиции сброса — кривая $\hat{\kappa}P_2(k)$ — 2 с фактической — 1 на рис. 2. Расчетная функция сброса в третью камеру $\hat{\kappa}P_3(k)$ — 3 оказывается более сглаженной, в то время как предположение о сбросе в первую камеру $\hat{\kappa}P_1(k)$ (при реальном сбросе во вторую $mP_2(k) > 0$) приводит к физически несостоятельным ($\hat{\kappa}P_1(k) < 0$, $\hat{\kappa}P_1(k) > 0$) результатам, кривая 1.

ЛИТЕРАТУРА

1. Кюнж Ж. А., Холл Ф. М., Вервей А. Численные методы в задачах речной гидравлики: практическое применение. — М.: Энергоатомиздат, 1985. — 256 с.
2. Пикиноров П. В., Шмелева Т. А. Моделирование нефтезагрязненности водотоков, расположенных на территории нефтяных месторождений // Вестн. кибернетики. — 2006. — № 5. — С. 10–15.
3. Самарский А. А. Введение в численные методы. — М.: Наука, 1982. — 272 с.

4. Шмелева Т. А., Вахов Д. Н. Геоинформационные технологии контроля за состоянием загрязненности участков нефтяных месторождений // Криосфера Земли. — 1998. — Т. 2, № 3. — С. 36–43.

5. Euren K., Weyer E. System identification of open water channels with undershot and overshot gates // Control Engineering Practice. — 2007. — No. 15. — P. 813–824.

I. A. Vladel'tchikova, Ye. V. Vlasov, T. A. Shmeleva

ALGORITHM OF EVALUATING DISCHARGE OF OIL POLLUTANTS INTO A WATERWAY

The article investigates accuracy of an algorithm evaluating a schedule of unit discharge of oil pollutants into a waterway through monitoring dynamics of aquatic contamination in the outer monitoring section.